

بسم الله الرحمن الرحيم



كلية الدراسات العليا



جامعة السودان للعلوم والتكنولوجيا

كلية الدراسات العليا

تمكيم طاقة التذبذب المغناطيسي للمواد الخزفية فائقة التوصيل

**Quantization Energy Fluctuation for Superconducting
Ceramic Materials**

بحث تمكيلي لنيل درجة الماجستير في الفيزياء

اعداد الطالب :

مجاهد الضو جاه النبي محمد

اشراف الدكتورة :

رشا عبدالحفيظ محمد طه أحمد

مايو 2015م

الاستهلال

قال تعالى: (لَقَدْ أَرْسَلْنَا رُسُلًاٰ بِالْبَيِّنَاتِ وَلَزَلَّنَا مَعَهُمُ الْكِتَابَ وَأَمْبَيْزَانَ لِيَقُومَ النَّاسُ بِالْقُسْطِ وَأَنْزَلْنَا الْحَدِيدَ فِيهِ بَلْسُ شَدِيدٌ وَمَنَافِعٌ لِلنَّاسِ وَلِيَعْلَمَ اللَّهُ مَنْ يَنْصُرُهُ وَرَسُلُهُ بِالْغَيْبِ إِنَّ اللَّهَ قَوِيٌّ عَزِيزٌ)

سورة الحمد الآية 25

الله اقربنا حبل اسرار حب

الي الذي بذل من اجلني... وعلمني ان سلاح الحياة هو العلم...

ام———ي العزي——ز

عِينَكَ تَطْلُنِي عَيْهَا * * * * * وَفَوَادِكَ يَنْبَغِي بِالْعَنَانِ

كُمْ طَالَ عَنْكَ مِنْ أَجْلِي * * * * * وَشَرَبْتَ كُؤُوسَ الْحَرْمَانِ

إِلَيْكَ الْحَبِيْبَةُ الَّتِي إِذَا وَهَبْتَ لَهَا عُمْرِي لَنْ أَكَافِئَهَا وَلَوْ ذَرَّةٌ مِنْ فَضْلِهَا...

ام———ي الغالية

يَا نُورَ الْعَيْنِ وَمَرْتَهَا * * * * * فِي حَصْنِكَ أَنْسِيَ احْزَانِي

حَوْبَتِي الشَّهَدُ عَلَيْيَ وَجْهِي * * * * قَبْلَاتِهِ تَسْكُنُ وَجْهَانِي

إِلَيْكُمْ أَشْقَائِي كُلَّمَا اخْتَرْتُ ذَاتِي يَرْجِعُ ظَلَالُ الْأَشْيَاءِ لِأَجْدَهَا بَيْنَكُمْ

سَأَظْلَلُ أَذْكُرْكُمْ بِعِجْمِ مَدْبُتِي * * * * * فَمَمْبُتِي فِيْضٌ مِنْ الرَّحْمَنِ

إِلَيْكُمْ وَقَفُوا بِجَانِبِي ... رَفِقاءِ دُرْبِي زَمَلَائِي بِجَامِعَةِ السُّودَانِ

سَأَظْلَلُ أَحْفَظُ صُورَةً لِلصَّدْقِ * * * * * كُنْتَهُ رَايَتَهَا فِي مَغْلُوبِكُمْ

إِلَيْكُمْ جَمِيعًا

” ” ” اهدي هذا الجهد المتوانع ” ” ”

شکر

الشکر لله عز وجل أولاً وأخيراً والحمد لله على ذلك حمدًا يليق بجلال وجهه وعظم سلطانه. إلى كل من

غاص في علم الفيزياء إلى عباقرة كلية الدراسات العليا – قسم الفيزياء بجامعة السودان للعلوم والتكنولوجيا.

والشكر و التقدير إلى الدكتورة رشا عبدالحي محمد طه لإشرافها على هذا البحث متابعتا وإرشادا و

توجيهها والتي لم تبخل علينا بوقتها وخبرتها. والشكر إلى كل من ساهم في مساعدتنا ومساندتنا بالتصح

والإرشاد وللذين مدوا لنا يد العون و المساعدة في توفير المعلومات والمراجع والحمد لله رب العالمين أولاً و

أخيراً.

ملخص البحث

في هذه الدراسة تم إستخدام الإختلاف في المغناطة التلقائية لوصف تأثير الإلكترونات - الفجوات على المواد الخزفية فائقة التوصيل وكذلك استخدمت علاقات الطاقة لتوضيح قاعدة الموصلية و مقياس الطاقة ، وعلى هذا الأساس يمكننا ان نستنتج صورة فيزيائية واضحة للموصلية الفائقة بواسطة الرسم، وكذلك يمكننا ان نوضح آلية التوصيل الفائق.

كما استخدمت في هذه الدراسة معادلة شرودنجر لإيجاد طاقة التذبذب المغناطيسي في حالة وجود كمية التحرك ومرة اخرى في حالة عدم وجود كمية التحرك.

ABSTRACT

In this study, we use the variation of spontaneous magnetization to describe the influence of electron holes in cuprate superconductors, and use competitive energy relations to explore the superconductivity rule and energy criterion, on this basis, we deduce a clear physical image of superconducting phase diagram and superconducting mechanism. It has also been used in this study Schrodinger equation to find the energy magnetic fluctuation in the presence of the momentum and again in the absence of the momentum.

الفهرست

الصفحة	الموضوع	الرقم
I	الاستهلال	1
II	الاهداء	2
III	شكر	3
IV	ملخص البحث باللغة العربية	4
V	ملخص البحث باللغة الإنجليزية	5
VI	الفهرست	6
الباب الأول		
مقدمة البحث		
1	(1-1) المقدمة	7
2	(1-2) الدراسات السابقة	8
2	(1-3) اهداف البحث	9
2	(1-4) محتوى البحث	10
الباب الثاني		
الخواص الكهربائية والمعنطيسية للمواد العاديّة والفايّفة		
3	(2-1) مقدمة	11

3	2-2) تصنیف المواد المغناطیسیة	12
12	2-3) خواص الموصلات الفائقة	13
13	2-4) انواع الموصلات الفائقة	14
15	2-5) آلية التوصيل في الموصلات الفائقة	15
17	2-6) طاقة التقرة للموصل الفائق	16

الباب الثالث

معادلات لندن الأولى والثانية

18	3-1) مقدمة	17
18	3-2) إشتقاق معادلة لندن الأولى	18
20	3-3) إشتقاق معادلة لندن الثانية	19
22	3-4) عمق إختراق لندن	20
24	3-5) أثر ميزنر	21

الباب الرابع

مقياس الطاقة بالنسبة للمواد الخزفية فائقة التوصيل

25	4-1) مقدمة	22
25	4-2) الوصف الرياضي لطاقة التذبذب المغناطيسي	23
26	4-3) علاقات الطاقة في حالة التوصيل الفائق	24
27	4-4) تأثير طاقة تفاعل الألكترون على الموصولة الفائقة	25
29	4-5) حساب طاقة التذبذب المغناطيسي بواسطة معادلة شروودنجر	26

33	(4-6) طاقة التذبذب المغناطيسي في حالة الاندفاع يؤول الى الصفر	27
35	مناقشة النتائج	28
36	الاستنتاج	29
37	المراجع	30

الباب الاول

مقدمة البحث

1-1) المقدمة :

الموصولة الفائقة في الفيزياء(SUPERCONDUCTIVITY) هي ظاهرة تحدث في بعض المواد عند تبريدتها إلى درجات حرارة منخفضة جداً تقترب من الصفر المطلق (صفر كلفن) ، حيث تسمح الموصولات الفائقة بمرور الكهرباء خلالها دون أي مقاومة كهربائية تقريباً.

عادةً تتحفظ المقاومة الكهربائية للموصولات المعدنية تدريجياً مع انخفاض درجة الحرارة، وفي حالة الموصولات العادي كالنحاس أو الفضة فإن الشوائب الموجودة في المادة تمنع الوصول إلى حد أدنى من المقاومة في درجات الحرارة المنخفضة. ولذلك فعند الاقتراب إلى درجة حرارة تقارب درجة الصفر المطلق فإن عينة من النحاس مثلاً لا يمكن أن توصل لدرجة ممانعة (مقاومة) تساوي الصفر. أما في حالة الموصولات الفائقة فإن الممانعة تتحفظ على نحو مفاجئ إلى الصفر عندما يتم تبريد المادة إلى درجة حرارة أقل من الدرجة الحرجة لهذه المادة، غالباً 20 كلفن أو أقل.

في حالة التوصيل الفائق يمكن لتيار كهربائي يمر في حلقة من مادة فائقة التوصيل أن يستمر في السريان إلى وقت غير محدود وبدون وجود مصدر للطاقة بعد إعطاء الدفعة الأولى. ظاهرة التوصيل الفائق ظاهرة تقسرها ميكانيكا الكم، ولا يمكن فهمها على أساس أنها تجسيد لظاهرة الموصل المثالي ضمن إطار الميكانيكا الكلاسيكية.

وتحدث حالة التوصيل الفائق في تشكيلة واسعة من المواد مثل: المعادن الخفيفة كالقصدير والألمنيوم، والسيراميك والسبائك الثقيلة، وبعض أشباه الموصولات، ولكن لا يمكن صنع موصلات فائقة من المعادن النبيلة كالذهب والفضة، ولا من المعادن ذات مغناطيسية حديدية.

قبل عام 1911 كان الاعتقاد السائد أن جميع المواد تصبح فائقة التوصيل للكهرباء فقط عند درجة حرارة الصفر المطلق -273م. ولكن في تلك السنة لوحظ أن الزئبق النقي تصبح مقاومته متساوية للصفر عند درجة حرارة 4 مطلق . 269 درجة مئوية ويمكن الحصول على هذه الدرجات المنخفضة بتسييل غاز الهيليوم. لقد كان هذا الاكتشاف مثيراً لاهتمام الكثير من العلماء لإيجاد تفسير علمي لهذه الظاهرة وخاصة بعد أن وجد أن هناك مواد أخرى لها نفس الخاصية عندما تبرد وهذا ما كان مخالفًا للاعتقاد السائد آنذاك. ولكن تسييل غاز الهيليوم مكلف جداً من ناحية مادية ، ولذلك كان البحث في هذا المجال محدوداً جداً إلى أن تم التوصل في عام 1986 إلى مركب فائق التوصيل للكهرباء، رمزه الكيميائي هو $\text{YBa}_2\text{Cu}_3\text{O}_7$ عند درجة حرارة 180 درجة مئوية ، ويمكن الحصول على هذه الدرجة بتسييل غاز النيتروجين و هذا غير مكلف و من هنا بدأت البحوث و التجارب العلمية تنشط لمحاولة فهم هذه الظاهرة وكيفية استغلالها في تطبيقات صناعية و تكنولوجية، و كذلك في البحث عن مواد تكون مقاومتها صفر عند درجات حرارة الغرفة أي 25 درجة مئوية

(1-2) الدراسات السابقة :

اوضحت دراسة سابقة ان الطاقة الرئيسية المسؤولة عن تكوين الزوج الإلكتروني (زوج كوبر) هي طاقة التذبذب المغناطيسي الناتجة عن المغнطة التلقائية لمركب اصلي تم منحة الكترونات في احدى مداراته وأن الاختلاف في طاقة التبادل المغناطيسي يوصف بطاقة التذبذب المغناطيسي . [11]

كما اوضحت دراسة سابقة استخدام ميكانيكا الكم و معادلة شرودنجر لإيجاد صيغة نظرية لدرجة الحرارة الحرجة للمواد فائقة التوصيل عند درجات الحرارة المرتفعة . [10]

(1-3) أهداف البحث:

- استنتاج صيغة نظرية لآلية التوصيل الفائق باستخدام معادلة شرودنجر عن طريق طاقة التذبذب المغناطيسي
- ايجاد الطاقة الاساسية التي تعمل على تكوين ازواج كوبر في التوصيل الفائق

(1-4) محتوى البحث:

يحتوي هذا البحث على اربعة ابواب يختص الاول منه بمقدمة البحث ويختص الثاني بالخواص المغناطيسية للمواد العادية والفائقة والآلية التوصيل بالنسبة للمواد الفائقة وانواع الموصلات الفائقة، ويختص الباب الثالث بمعادلات لندن واثر ميزنر، ويختص الباب الرابع بدراسة بتكميم الطاقة بالنسبة للمواد الخزفية فائقة التوصيل .

الباب الثاني

الخواص الكهربائية والمغناطيسية للمواد العادية والفائقة

(2-1) مقدمة:

تعتبر المواد فائقة التوصيل الكهربائي مواد دايا مغناطيسية مثالية وتكون قابلية المغناطة

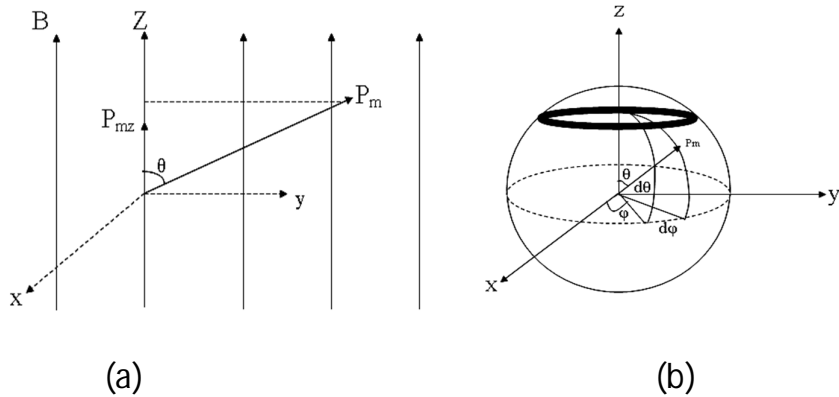
(1-x) ومن ثم تكون ظاهرة التوصيل الكهربائي الفائقة خليط من ظاهرتين توصيل كهربائي مثالي ودايا مغناطيسية مثالية

(2-2) تصنیف المواد المغناطیسیة : Materials Classification of :

1 - مواد بارا مغناطیسیة : Materials Paramagnetic

تنشأ البارا مغناطيسية في الأيونات التي لا تكون قشرتها مكتملة مثل ايونات العناصر الانتقالية والعناصر النادرة، وبعض الذرات لها عزوم مغناطيسية دائمة تكون موزعة عشوائياً وعند تسليط مجال مغناطيسي خارجي توجه هذه العزوم لتكون في وضع موازي للمجال المغناطيسي ويعطى ما يسمى بالظاهرة البارا مغناطيسية (Paramagnetic effect) وتسمى المواد بالمواد البارامغناطيسية مثل الألمنيوم والأوكسجين ومعامل النفاذية أقرب إلى الواحد الصحيح والقابلية المغناطيسية موجبة. فإذا استعملنا الإحداثيات الديكارتية فإن محصلة العزوم المتوجه مع محور Z مثلاً تساوى صفر في حالة تسليط مجال أي مجال مغناطيسي خارجي . أما إذا سلط المجال المغناطيسي الذي حبه B بحيث يكون اتجاهه مع Z فإن العزوم المغناطيسية ستتجه مع اتجاه المجال بزاوية مختلفة وسيكون لمعظمها مركبات مع محور Z في الاتجاه الموجب .

فإذا أخذ العزم المغناطيسي P_m بحيث تكون مركبته على المحور Z كما في الشكل أدناه [7]



شكل(2-2-a) عزم مغناطيسي P_m في مجال مغناطيسي خارجي.

(2-2-b) غلاف كروي لحساب العزوم المغناطيسي المختلفة المتأثرة بال المجال المغناطيسي الخارجي .

$$P_{mz} = p_m \cos \theta \quad (2-1)$$

وتكون طاقة الوضع المغناطيسي لهذا العزم هي :

$$W = p_m B \cos \theta \quad (2-2)$$

حيث θ هي الزاوية بين B و P_m

ولحساب الشدة المغناطيسية للمواد البارا مغناطيسية نفرض أن N هي عدد الذرات الموجودة بوحدة الحجم لمادة بارا مغناطيسية ، وضعت في مجال مغناطيسي حته B وعند درجة حرارة قدرها T ، فإذا فرض أن dn عدد العزوم المغناطيسي في وحدة الحجم الواقعة بين $\theta + d\theta, \theta$ مع اتجاه المجال B ف تكون الزاوية المجسمة هي :

$$d\Omega = 2\pi \sin \theta d\theta \quad (2-3)$$

وبحسب قانون ماكسويل وبولتزمان للاحتمالات النسبية لتوزيع الطاقة فإن التوزيع يعطى بالمعادلة :

$$\frac{dn}{d\Omega} = N_0 e^{\left(\frac{-w}{kT}\right)} \quad (2-4)$$

حيث N_0 ثابت التاسب وتمثل عدد الجزيئات لوحدة الزاوية المجسمة عندما تكون $W=0$ أي أن:

$$\theta = \frac{\pi}{2} \quad \text{أو} \quad \cos \theta = 0$$

وبالتعويض عن W من المعادلة (2-2) في المعادلة (2-4) نحصل على :

$$\begin{aligned} \frac{dn}{d\Omega} &= N_0 e^{\left(\frac{-P_m B \cos \theta}{kT}\right)} \\ dn &= N_0 e^{\left(\frac{-P_m B \cos \theta}{kT}\right)} d\Omega \end{aligned} \quad (2-5)$$

وبالتعويض عن Ω من المعادلة (2-3) ووضع $a = \frac{P_m B}{kT}$ نحصل على :

$$dn = N_0 e^{-a \cos \theta} 2\pi \sin \theta d\theta \quad (2-6)$$

$$\therefore n = \int dn = 2\pi N_0 \int_0^\pi e^{-a \cos \theta} \sin \theta d\theta \quad (2-7)$$

ويكون مجموع العزوم ضمن الشريط المخطط داخل الزاوية المجمدة $d\Omega$ في الشكل (2-2-b) هو :

$$dM = p_{mz} . dn \quad (2-8)$$

وبحسب المعادلة (2-1) في المعادلة (2-8)

$$\begin{aligned} dM' &= p_m \cos \theta dn = p_m \cos \theta 2\pi N_0 e^{a \cos \theta} \sin \theta d\theta \\ \therefore M' &= 2\pi p_m N_0 \int_0^\pi e^{a \cos \theta} \sin \theta \cos \theta d\theta \\ \therefore M' &= \left(\frac{4\pi N_0 P_m}{a^2} \right) \{ a \coth(a) - \sinh(a) \} \end{aligned} \quad (2-9)$$

من هذه المعادلة (9-2) والمعادلة (7-2) تكون قيمة العزم المغناطيسي المتوسط لكل جزئي والمتوجه مع اتجاه المجال المغناطيسي على محور Z هي :

$$\bar{P}_{mz} = \frac{M'}{n} = P_m \left\{ \coth(a) - \frac{1}{a} \right\} \quad (2-10)$$

وبذلك فإن الشدة المغناطيسية M هي :

$$M = N \bar{P}_{mz} \quad (2-11)$$

حيث N عدد الذرات لوحدة الحجم .

$$M = N P_m \left\{ \coth(a) - \frac{1}{a} \right\} = N P_m L(a) \quad (2-12)$$

$$L(a) = \coth(a) - \frac{1}{a} = \frac{e^a + e^{-a}}{e^a - e^{-a}} - \frac{1}{a} \quad (2-13)$$

وتكون القابلية المغناطيسية هي [7] :

$$\chi_m = \frac{M}{H} = \frac{\mu_0 M}{B} = \frac{\mu_0 N P_m L(a)}{B} \quad (2-14)$$

والمقدار $L(a)$ يُعرف بتابع لانجفين (Langevin Function)

أما إذا كان المجال ضعيفاً فتكون a صغيرة وتقرب دالة لانجفين لتكون :

$$L(a) = \frac{a}{3} - \frac{a^3}{45} + \dots \cong \frac{a}{3} \quad (2-15)$$

بما أن a صغيرة يمكن إهمال الحد الثاني وما بعده . [1]

وبالتعويض عن الدالة $L(a)$ في المعادلتين (12-2) و (13-2) نحصل على :

$$M = \frac{NP_m^2 B}{3kT} \quad (2-16)$$

$$\chi_m = \frac{M}{H} = \frac{\mu_0 M}{B} = \frac{\mu_0 NP_m^2}{3kT} \quad (2-17)$$

$$\chi_m = \frac{C}{T} \quad \text{أو} \quad (2-18)$$

$$C = \frac{\mu_0 NP_m^2}{3k} \quad (2-19)$$

ويسمى C بثابت كيوري والمعادلة (2-19) تسمى بمعادلة كيوري وتحت هذه الظروف فإن القابلية المغناطيسية لا تعتمد على المجال المغناطيسي ولكنها تتناسب عكسياً مع درجة الحرارة [7].

-2 مواد دايا مغناطيسية :Diamagnetic materials

وهذه تمثل إلى الابتعاد عن المجال المغناطيسي مهما كان اتجاهه ، وإذا أتيحت لها حرية الدوران فإنها تجعل أطوال محاورها متعامدة على خطوط ، ومن هذه المواد البزموت و النحاس وتميز بأن معامل نفاذيتها أقل من الواحد والقابلية المغناطيسية لها سالبة. وهي ظاهرة توجد في كل المواد بتأثير ضعيف وتخفي تقريباً في المواد التي تتميز ذراتها بعزم مغناطيسية كمواد البارا مغناطيسية والفيرومغناطيسية . [3]

وظاهرة الديا مغناطيسية الضعيفة الناتجة عن التيارات الالكترونية الدائرية تعرف بظاهرة لارمر (Sir Joseph Larmor) نسبة لمكتشفها السير جوزيف لارمر (Larmar diamagnetism) العالم الانجليزي .

إن العزم المغناطيسي لوحدة الحجم (M) هو عبارة عن العزم المغناطيسي للذرة مضروباً في عدد الذرات في وحدة الحجم N أي أن: [9]

$$M = NP_m$$

$$\therefore \chi_m = \frac{M}{H} \& H = \frac{B}{\mu_0}$$

$$\therefore \chi_m = \frac{\mu_0}{B} N P_m \quad (2-20)$$

$$\therefore P_m = -\frac{e^2 r^2 B}{2m} \quad (2-21)$$

بتعويض المعادلة(20) في (2-21) تصبح :

$$\chi_m = -\frac{\mu_0 N e^2 r^2}{2m} \quad (2-22)$$

واضح أن M و χ_m لا تعتمد على درجة الحرارة . [7]

3- المواد الفيرومغنتيسية: Ferromagnetic materials:

وتسمى أيضاً بالـ (المواد الحديد وмагنتيسية). إن ذرات بعض المواد مثل الحديد والكوبالت والنikel وبعض العناصر النادرة مثل الجاد لينوم (Gad) تمتلك عزوماً مغنتيسية تلقائية في درجة حرارة تقل عن الدرجة الحرجة (Critical temperature) فالمواد الحديد وмагنتيسية لها نفاذية كبيرة جداً ويمكن أن تتمغنط بصورة دائمة.

وطالما أن العزوم المغنتيسية تكون جميئها تقريباً في اتجاه واحد بمجرد تسليط مجال خارجي بسيط فإن قيمة التشبع يمكن الوصول إليها عند قيم صغيرة للشدة المغنتيسية وفي هذه الحالة فإن العلاقة بين التمغنط M والمجال الخارجي المسلط H ليست علاقة خطية ، وبالتالي فإن القابلية المغنتيسية χ_m للمواد الحديد وмагنتيسية ليست ثابتة ولكنها تتغير مع شدة المجال الخارجي H .

في عام 1907 افترض العالم بيير فليس (Pierre Weiss) أن التفاعل القوى للعزوم المغنتيسية في المواد الحديد وмагنتيسية يعطى مجالاً داخلياً قوياً سماه المجال الجزيئي (Molecular field) وأنه يتاسب مع شدة التمغنط M فإذا فرض أن B_m قيمة الحث المغنتيسى عند درجة الحرارة T فإن :

$$B_m \propto M$$

$$\therefore B_m = \lambda M \quad (2-23)$$

حيث λ ثابت التناوب ويسمى بمعامل المجال الجزئي (Molecular field factor) وإذا فرض أن المجال الخارجي H فإن معادلة شدة التمagnet هو B تعطى بالعلاقة :

$$B = \chi_m H \quad (2-24)$$

حيث χ_m القابلية المغناطيسية H المجال المغناطيسى تصبح هذه المعادلة:

$$M\mu_0 = \chi_m (B + B_m)$$

Or

$$M\mu_0 = \chi_m (B + \lambda M)$$

Or

$$M\mu_0 = \chi_m \lambda M + \chi_m B$$

$$\therefore M = \frac{\chi_m B}{\mu_0 - \lambda \chi_m} \quad (2-25)$$

وبالتعويض عن χ_m من المعادلة (2-4-17) نحصل على :

$$M = \frac{NP_m^2 B}{3k(T - \frac{\lambda NP_m^2}{3k})}$$

أو

$$M_T = \frac{NP_m^2 B}{3k(T - T_c)} \quad (2-26)$$

وحيث أن M تتغير مع درجة الحرارة T فإنها تكتب عادة M_T وتصبح القابلية المغناطيسية في هذه الحالة كالتالي :

$$\chi_m = \frac{\mu_0 M}{B} = \frac{C}{T - T_C} \quad (2-27)$$

حيث C ثابت كيوري وذلك حسب المعادلة (2-19) أما T_c فتسمى بدرجة كيوري (Curie temperature) وقيمتها

$$T_c = \frac{\lambda N P_m^2}{3k} \quad (2-28)$$

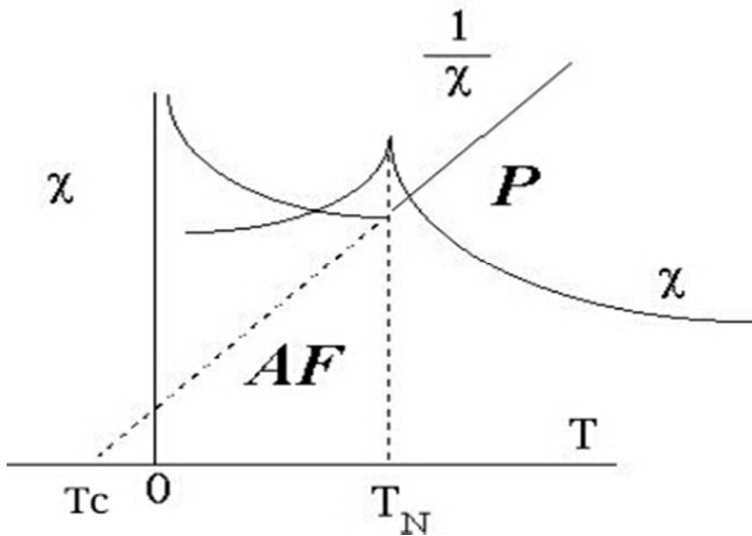
وتسمى درجة حرارة كيوري بدرجة حرارة التحول (transition temperature) لأن المادة الحديدومغناطيسية تفقد خواصه الحديدية المغناطيسية وتتحول إلى خواص المواد البارامغناطيسية. [7]

4- الفيرومغناطيسية المضادة :

تتميز هذه المواد بأن لها مغناطيسية صغيرة وموجبة وتسلك سلوكاً فريداً في تغيرها مع درجات الحرارة.

يبين الشكل (2-C) تغير القابلية المغناطيسية لهذه المواد مع درجات الحرارة . عند انخفاض درجة الحرارة المطلقة تزداد χ متوجهة نحو نهاية عظمى عند درجة حرارة حرجة T_N تعرف بدرجة حرارة نيل. فوق هذه الدرجة تتميز المادة بالخاصية البارامغناطيسية .

عند درجات حرارة أقل من T_N تكشف عن طبيعتها الفيرومغناطيسية المضادة . تقع هذه الدرجة تحت درجة حرارة الغرفة لذا يلتبس الامر في ان تكون المادة بارامغناطيسية أصلية وأنها قد تكون في طور البارامغناطيسية لمادة ذات اصل فيرومغناطيسي متضاد. للكشف عن ذلك يلزم تعريف χ مع الانخفاض في درجة الحرارة الي ان يستدل على درجة حرارة نيل T_N إن وجدت.



شكل (2-2-C) تغير χ , $1/\chi$ مع T لمادة فيرموناتجيسية مضادة والتحول الى بارا مغناطيسية عند درجة حرارة T_N

وكذلك يبين الشكل (2-2-C) تغير $\chi/1$ مع درجة الحرارة المطلقة T كخط مستقيم فوق درجة حرارة T_N وينقطع امتداده مع المحور الافقى لدرجات الحرارة عند القيمة $-T_C = T$ وتكون معادلة هذا الخط هي :

$$\frac{1}{X} = \frac{T + T_C}{C}$$

$$X = \frac{C}{T+T_C} = \frac{C}{T-(-T_C)} \quad (2-29)$$

تشير المعادلة الى ان هذه المعادلة تخضع لقانون كوري فليس ولكن بدرجة حرارة كوري سالبة

تحت درجة T_N يصبح هذا الميل في الترتيب المتضاد للعزم قويا بالقدر الكافي من التأثير حتى عند غياب مجال خارجي. [6]

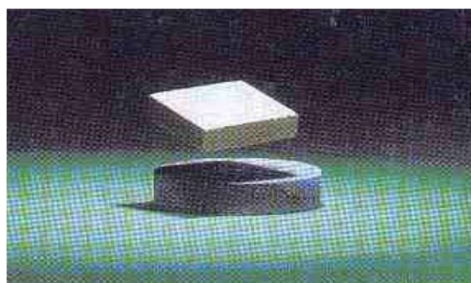
(2-3) خواص الموصلات الفائقة: super conductivity properties

(2-3-1) طرد المجال المغناطيسي من داخل الموصلات الفائقة: د

من أهم ميزات الموصلات الفائقة قدرتها على طرد المجالات المغناطيسية من داخلها أو من الوسط الذي تحتويه. والمسألة يمكن النظر إليها بالصورة التالية: عندما يتعرض موصل ما من النوع الديامغناطيسي إلى مجال مغناطيسي خارجي فإن ذلك الموصل يحاول التخلص من المجال باستحداث تيارات كهربائية يلف حول سطحه تسمى بالتيارات السطحية.

(2-3-2) ظاهرة الطفو والتعليق المغناطيسيتان:

ناتج من جراء رفض الموصلات الفائقة للمجالات المغناطيسية وتمتنعها المعاكس ظاهرة الطفو والتعليق على الترتيب. إن ظاهرة الطفو تحصل عندما يتم محاولة وضع قطعة مغناطيس في أعلى موصل فائق أو العكس.



شكل (2-3-1) يوضح ظاهرة الطفو

(2-3-3) ظاهرة (أو وصلات) جوزيف صن: Josephson Junctions

لقد تنبأ هذا العالم أنه عندما يتم وضع موصلين فائقين بجانب بعضهما بحيث لا يصل بينهما إلا شريحة رقيقة جداً من مادة عازلة؛ فإن بعض الأزواج الإلكترونية تستطيع التملص Tunneling من خلال تلك الشريحة غير الموصلة. وقد تم تأكيد تنبؤاته بعد فترة وجيزة من خلال التجربة.

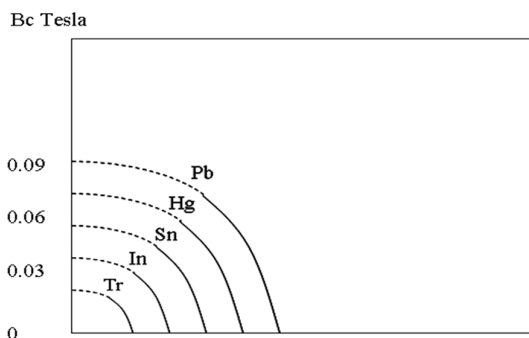
(2-3-4) ظاهرة التكميم المغناطيسي:

كما سبق فإن المواد الفائقة مثيرة في كل جوانبها. من تلك الأمور المثيرة هي ظاهرة التكميم المغناطيسي. وفكرة الظاهرة أنه إذا تم صنع موصل فائق على صورة حلقة (مهما كانت متناهية الصغر) فإن مقدار المجال المغناطيسي الذي يمر من خلال تلك الحلقة يجب أن يكون مساوياً تماماً لعدد صحيح من الكمات المغناطيسية وتسمى أيضاً بالفلاكسويد ومعنى التكميم أنه لو تعرض الموصل إلى مجال يزيد قليلاً عن عدد صحيح من الكمات (بزيادة أقل من نصف كمة)؛ فإن الزيادة ترفض ولا تمر من خلاله، في حين أنه لو تعرض لمجال يقل قليلاً عن عدد صحيح من الكمات بمقدار ضئيل (أقل من نصف كمة) فإنه يتکيف بحيث يكمل النقص من تلقاء نفسه! من أجل أن يحافظ على العدد الصحيح من الكمات.

2-3-5)-المجال المغناطيسي الحراري: Critical Magnetic Field

ت تكون مجالات مغناطيسية قوية عند مرور التيار المداوم في ملفات من موصلات فائقة. من الناحية النظرية يمكن زيادة شدة التيار المداوم ، وبالتالي شدة المجال المغناطيسي المصاحب بدرجة لا نهاية، ولكن وجد عملياً أنه إذا زاد المجال المغناطيسي عن حد معين يسمى بالمجال الحراري B_c تختفي تماماً ظاهرة التوصيل الفائق وتتحول المادة إلى مادة عادية في التوصيل ويعرف المجال الحراري بأنه أقل مجال مغناطيسي يفقد عنده الموصل الفائق موصليته .

وتحتاج قيمة المجال الحراري باختلاف الموصل ، كما أنها تقل كلما ارتفعت درجة الحرارة كما هو مبين في الشكل (2-3-2) [9].



تغير المجال المغناطيسي الحراري لموصل فائق

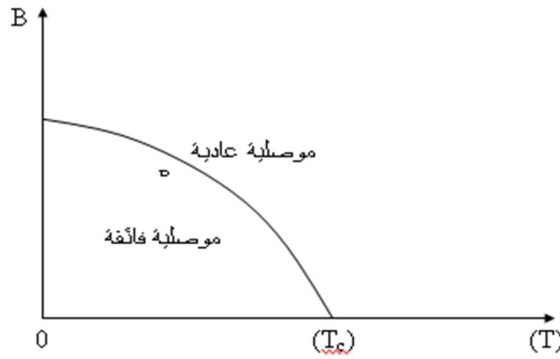
الشكل (2-3-2)

2-4)- أنواع الموصلات الفائقة : Types of super conductors

ووجد أن للموصلية نوعين:

النوع الأول : Type I super conductors

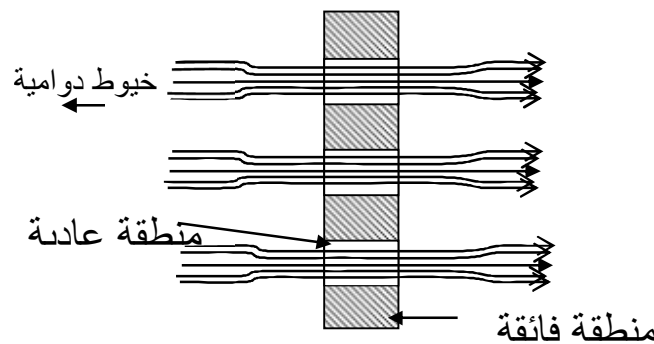
هي التي يكون تأثيرها كلي بالنسبة للمجال المغناطيسي وان المواد الفائقة من هذا النوع تكون جيدة الديا مغناطيسية وبالتالي لها مجال حراري واحد وعند تطبيق مجال مغناطيسي له قيمة حرارة T_c تزداد بانخفاض درجة الحرارة تحت T_c فإنه لا يحدث اختراق للفيض داخل العينة فإذا زادت شدة المجال عن B_c فإن العينة بأسرها تعود إلى الحالة العادية.[2]



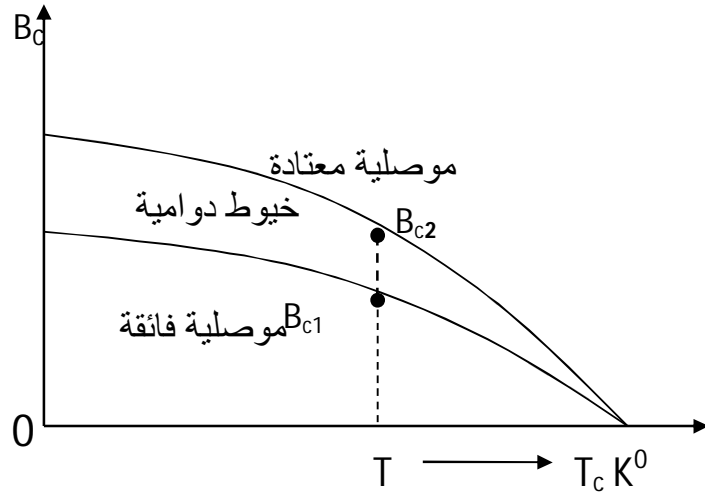
الشكل (2-4-1) يوضح الحالة العادية والفائقة في موصل فائق من النوع الأول في المستوى.

النوع الثاني : Type II super conductors

في عام 1950 ظهر نوع آخر من الموصلات الفائقة لها مجالين مغناطيسيين حرجين يرمز لهما B_{c1} و B_{c2} فعندما تكون شدة المجال المغناطيسي أقل من B_{c1} تظل المادة فائقة التوصيل ولا تمر بها خطوط المجال وإذا ما زادت شدة المجال عن B_{c2} تخترق خطوط المجال سطح المادة وتصبح ماد عادي غير فائقة التوصيل. أما إذا كان المجال بين B_{c1} و B_{c2} تظل المادة فائقة التوصيل إلا أن خطوط المجال تخترق بعض المناطق فيها ، وهذه الحالة تسمى الحالة الدوامية والمناطق التي تخترقها خطوط القوى تسمى المناطق الدوامية وكلما زادت شدة المجال المغناطيسي زادت المساحة الدوامية التي تمر خلالها خطوط المجال المغناطيسية حتى تشمل المادة كلها عندما تصل قوة المجال المغناطيسي B_{c2} فتفقد المادة صفة التوصيل الفائق وتعود إلى الحالة العادية الشكل (2-4-2) يوضح النوع الثاني [9]



الشكل (2-4-2) موصل فائق من النوع الثاني يلاحظ وجود مناطق تمر من خلالها خطوط المجال المغناطيسي.



شكل (2-4-3) المجالات الحرجة لموصل فائق من النوع الثاني عن درجات الحرارة المختلفة .

(2-5) آلية التوصيل في الموصلات الفائقة:

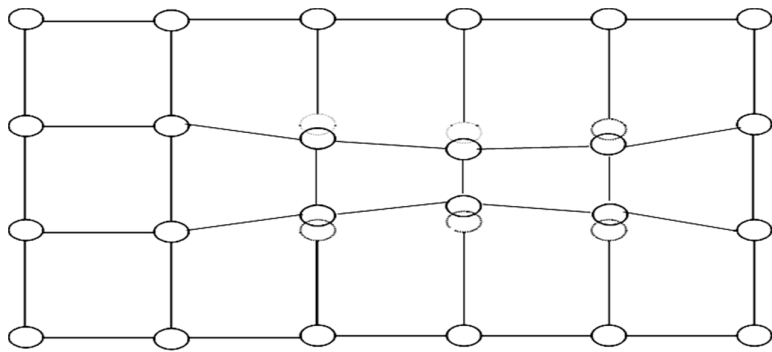
نظريّة (باردين - كوبير - شريف): The BCS Theory :

يحدث التوصيل الكهربائي في المواد عبر انتقال الشحنات الكهربائية الداخلية تحت تأثير مجال كهربائي خارجي وتبين المقاومة الكهربائية للمادة سهولة أو صعوبة انتقال هذه الشحنات فهي مقاومة قليلة في الفلزات والمعادن بينما هي كبيرة جداً في العوازل .

تنشأ المقاومة الكهربائية في الفلزات والمعادن عن طريق تشتت ناقلات الشحنة، وهي الالكترونات في هذه الحالة ، عن طريق تصادمها مع بعضها البعض وكذلك مع ذرات الشبكة وعيوب الشبكة وشوائبها، وحتى عند درجة الصفر المطلق .

لقد وجد باردين وكوبر وشريف حلاً يفسر آلية التوصيل في الموصلات الفائقة وذلك في نظرية تعرف باسمهم The BCS Theory تعتمد هذه النظرية على إمكان تكون أزواجاً من الالكترونات.

بيّنت هذه النظرية انه في حالة التوصيل الفائق تنشأ رابطة بين كل زوج من الالكترونات وينتج عن ذلك تكوين ثنائيات Cooper pairs وقد يبدو ذلك متناقضًا مع كون الالكترونات تتنافر مع بعضها لأن عليها شحنات متشابهة، إلا أن هذا التجاذب يتم نتيجة لحركة الشبكة البلورية تتبع لحظياً أثناء مرور الالكترونات كما هو واضح من الشكل [2] (2-5-1)

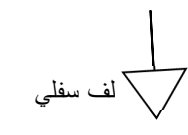


شكل (2-5-1) شكل توضيحي لاتبعاج الشبكة البلورية عند مرور إلكترون نتيجة التجاذب بين إلكترون وايونات الشبكة الموجبة.

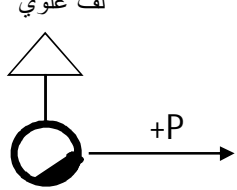


شكل (2-5-2) شكل توضيحي لتكون ثانيات

كوبر من إلكترونين أحدهما له لف سفل ويتحرك



إلى اليسار بكمية حركة P - والأخر يتحرك إلى



اليمن بلف علوي وكمية حركة P + مجموع

كمية الحركة لثائي كوبر صفر ولفه صفر.

شكل (2-5-2)

يتكون ثائي كوبر في الموصلات الفائقة من زوج من الالكترونات لها حركة لف متضادة كما في شكل(2-5-2) أي انه في الموصلات وفي غياب التيارات الفائقة تشكل ثانيات كوبر نظاماً حركته اللفية وعزمها الكلى يساوى صفر ومن ثم لا يخضع لقاعدة باولى للاستبعاد وللاستبعاد وجميع ثانيات كوبر في النظام يمكنها أن تكون في مستوى طاقة واحد. هذا على عكس الالكترونات المنفردة التي لها

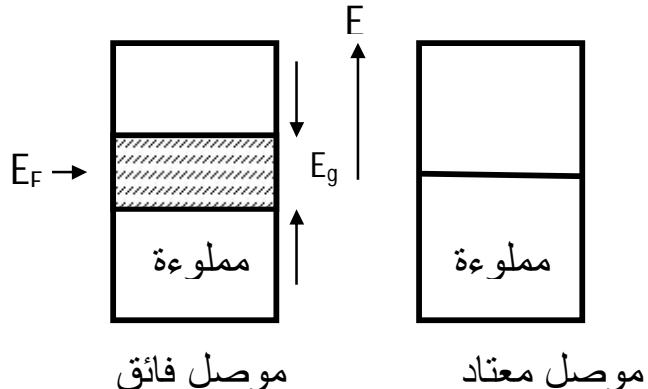
حركة لف تساوى $\frac{1}{2}$ وهى تخضع لمبدأ باولى للاستبعاد وتعتبر فرميونات fermions ولذلك فلا

يسمح إلا لإلكترون واحد فقط أن يتواجد في مستوى لف واحد Spin quantum state وطبقاً لنظرية BCS توجد جميع الالكترونات في الحالة الأرضية على شكل ثانيات كوبر بينها روابط. أي أن جميع ثانيات كوبر مأسورة في حالة كمية واحدة ذات كمية حركة تساوى صفر Zero momentum state وأيضاً من خواص ثانيات كوبر فإن دالتها الموجبة تكون كريهة مثل الحالة

في S ذرة الهيدروجين.[8]

(2-6) طاقة الثغرة للموصل الفائق: Energy gap:

يعتمد استقرار الموصل الفائق على قوة الرابطة بين الكتروني زوج كوبر، وتفسر النظريات حالة الموصل الفائق بوجود طاقة ثغرة بين الحالة الأرضية ground state والحالة المعتادة للنظام كما هو مبين في الشكل (2-6-1).



شكل (2-6-1)

وتعرف طاقة الثغرة بأنها الطاقة اللازمة لكسر الرابطة بين الكتروني زوج كوبر، وقد أثبتت نظرية (BCS) الميكانيكية التوصيل في الموصلات الفائقة عند درجات الحرارة المنخفضة، إن طاقة الثغرة عند $T = 0k^0$ تتناسب مع درجة الحرارة الحرجة وطاقة الثغرة في الموصل الفائق صغيرة في حدود (0.001 eV) عند الصفر المطلق، وذلك عند التأثير على موصل فائق بمجال مغناطيسي تزداد طاقة أحد الكتروني زوج كوبر بينما تتقص طاقة الثاني فإذا كانت شدة المجال كبيرة بما فيه الكفاية ينفصل الإلكترونون وتنتهي حالة الموصلية الفائقة.^[9]

وقد وصفت العلاقة بين عرض الفجوة الطافية لحالة التوصيل الفائق (E_g) ودرجة الحرارة T_c بواسطة نظرية (BCS) على الصورة :

$$E_g = 3.5T_c K$$

أي أنه بزيادة T_c تزداد E_g وهذا يواكب النتائج العملية

و T_c هي درجة الحرارة التي تتحول عندها المادة من حالة التوصيل العادي إلى حالة التوصيل الفائق.

الباب الثالث

معادلات لندن الأولى والثانية

(3-1) مقدمة:

ان معادلات لندن هي نظريات بسيطة توضح أثر ميزنر وكذلك تضع نموذج بسيط يصف نتائج التجربة وفي عام 1935م تم إثبات نظرية لندن للمجال الكهربائي والمجال المغناطيسي عن طريق كثافة التيار.

$$E = \mu_0 \lambda_l^2 \frac{d}{dt} J \quad (3-a)$$

$$B = -\mu_0 \lambda_l^2 \nabla \times J \quad (3-b)$$

حيث μ_0 هي نفاذية الفراغ

ان ثابت التناسب في هذه العلاقات هو عمق اختراق لندن λ_l :

$$\lambda_L = \left(\frac{m}{\mu_0 n_s e^2} \right)^{1/2} \quad (3-c)$$

حيث كتلة الالكترون m شحنة الالكترون e كثافة الالكترونات في الموصل الفائق و n_s

(3-2) إشتقاق معادلة لندن الأولى :

إذا طبق فرق جهد A على سلك توصيل سوف ينتج مجال كهربائي حول السلك وان القوة الكهربائية تعطى من العلاقة :

$$F = -eE = m \frac{dv}{dt}$$

حيث v هي سرعة الانجراف وتعطى من العلاقة :

$$v = -\frac{eE}{m} \tau \quad (3-1)$$

وتنصى سرعة الانجراف حيث τ هو زمن الاستقرار بين التصادمات وأشاره السالب تعنى ان الالكترونات تتحرك في عكس اتجاه المجال الكهربى .

عندما يتحرك الالكترون داخل وسط ذو مقاومة ستكون هنالك قوة احتكاك وبالتالي فان معادلة حركة الالكترون تؤخذ من العلاقة :

$$m \frac{dv}{dt} = eE - m \frac{v}{\tau} \quad (3-2)$$

حيث ان قوة الاحتكاك تعطى بالعلاقة :

$$F = ma, v = v_0 + \alpha\tau = 0 + \alpha\tau = \alpha\tau \Rightarrow F = \frac{mv}{\tau}$$

وبالنسبة للحالات المستقرة للمواد العادية فان العجلة تساوي الصفر

$$\frac{dv}{dt} = 0$$

وببناء على ذلك :

$$v = \frac{eE}{m}\tau \quad (3-3)$$

ومن هنا كثافة التيار تعطى من العلاقة :

$$J = nev = \frac{ne^2\tau}{m}E = \sigma E \quad (3-4)$$

حيث n هي كثافة الالكترونات و σ هي الموصلية الكهربية .

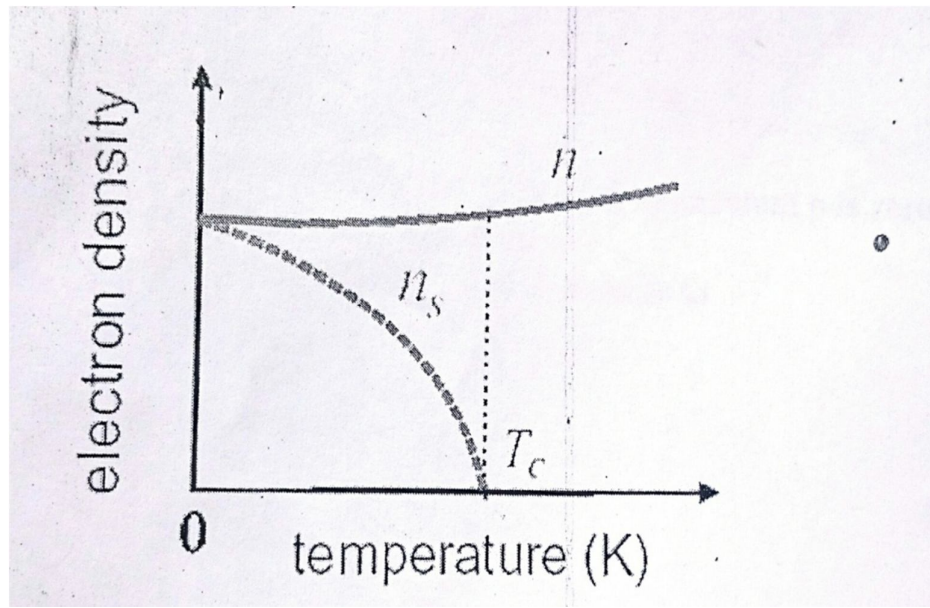
في نموذجين من المواقع يعتمدان على درجة الحرارة يمكن التعبير عن كثافة الالكترونات n_s بالنسبة للمواد الفائقة والمواد العادية n_n على النحو التالي :

$$n_s(T) + n_n(T) = n \quad (3-5)$$

حيث ان كثافة الالكترونات الكلية العادية لا تعتمد درجة الحرارة ، وعند $T = 0$ فإن $n_s(0) = 0$ ، وتتوقع النظرية البسيطة مايلي :

$$n_s(T) = n_n \left(\frac{T}{T_c} \right)^4 \quad (3-6)$$

حيث T_c درجة الحرارة الحرجة (critical temperatuure)



الرسم (3-1) يوضح كثافة الكترونات الموصل الفائق n_s المعتمدة على درجة الحرارة

بالنسبة للموصل الفائق تحت درجة الحرارة الحرجة T_c فان المقاومة تساوي الصفر والمعادلة (3-2) تصبح :

$$\frac{dv}{dt} = \frac{eE}{m} \quad (3-7)$$

وبتقاضل كثافة التيار بالنسبة للزمن من المعادلة (2-4) :

$$\frac{dJ}{dt} = n_s e \frac{dv}{dt} = \frac{n_s e^2}{m} E \quad (3-8)$$

إن الحد $\frac{m}{n_s e^2}$ وهو من الظواهر المعلومة.

المعادلة (3-8) تصبح :

$$E = \frac{d}{dt} (\Lambda J) = \Lambda \frac{dJ}{dt} \quad (3-9)$$

وتعرف المعادلة (3-9) بمعادلة لندن الأولى .(First London Equation).

(3-3) إستقاق معادلة لندن الثانية :

هذه المعادلة توضح علاقة المجالات المتعلقة بالزمن، ومهمة بالنسبة لأنثر ميزنر .

ان كثافة التيار تعطى بصورة عامة من العلاقة :

$$J = nev \quad (3-10)$$

حيث n هي تركيز حاملات الشحنة q
أن جهد المجال المغناطيسي المتجهي A يعرف بدلالة الاندفاع P حسب العلاقة :

$P = mv + \frac{q}{c}A$
وأن السرعة المتعلقة بالاندفاع الكلي توخذ من العلاقة :

$$v = \frac{1}{m} \left(P - \frac{q}{c}A \right) \quad (3-11)$$

حيث m هي الكتلة ، c سرعة الضوء في الفراغ

وبالتالي المعادلة (3-10) يمكن كتابتها بالصورة :

$$J = \frac{nq}{m}P - \frac{-nq^2A}{mc} \quad (3-12)$$

ونسبة لأن الاندفاع ينعدم في حالة الموصلية الفائقة أي أن :

$$p = mv \Rightarrow p = 0$$

ولأن $n=n_s$, $q=e$

$$J = -\frac{n_s e^2}{mc} A \quad (3-13)$$

علاقة الجهد المتجهي مع المجال المغناطيسي تعطى بالعلاقة :

$$B = \nabla \times A \quad (3-14)$$

المعادلة (3-13) يمكن كتابتها :

$$J = \frac{-c}{4\pi\lambda^2} A \quad (3-15)$$

حيث λ^2 هي عمق اختراق لندن وتساوي :

$$\lambda^2 = \frac{mc^2}{4\pi ne^2} \quad (3-16)$$

وبأخذ التوازن الطرفيين نجد أن:

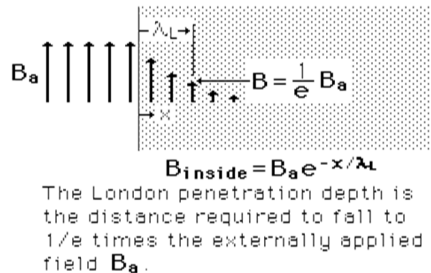
$$\nabla \times J = -\frac{c}{4\pi\lambda_l^2} (\nabla \times A) = -\frac{c}{4\pi\lambda_l^2} B \quad (3-17)$$

$$B = -c \Lambda \nabla \times J \quad (3-18)$$

$$\text{حيث } \Lambda = \frac{m}{n_s e^2} = \frac{4\pi\lambda_l^2}{c^2}$$

المعادلة (3-18) تسمى بمعادلة لندن الثانية

London penetration Depth in Superconductors : (3-4) عمق اختراق لندن :



واحدة من النظريات التي تصف سلوك الموصل الفائق هي معادلة لندن، وبأخذ إلتواز بالسبة

لكلافة التيار إلى المجال المغناطيسي تبعاً للمعادلة (3-17) كالتالي :

$$\nabla \times J = -\frac{c}{4\pi\lambda_l^2} (\nabla \times A) = -\frac{c}{4\pi\lambda_l^2} B \quad (3-19)$$

ولكن من معادلة ماكسويل في ظل ظروف ثابتة :

$$\nabla \times B = \frac{4\pi J}{c} = \mu_0 J \quad (3-20)$$

$$\mu_0 = \frac{4\pi}{c} \quad \text{حيث}$$

ويمكن التعبير عن هذه المعادلة من حيث كثافة الفيصل المغناطيسي خلال اتخاذ إلتوا كل الجانبين من المعادلة (3-20) ونحصل على :

$$\nabla \times \nabla \times B = \nabla(\nabla \cdot B) - \nabla^2 B = \frac{4\pi}{C} (\nabla \times J)$$

(حيث $\nabla \cdot B = 0 \Rightarrow \nabla(\nabla \cdot B) = 0$ تبعاً لمعادلة ماكسويل)

$$\nabla^2 B = -\frac{4\pi}{C} (\nabla \times J)$$

ومع المعادلة (3-19) نحصل على :

$$\nabla^2 B = \frac{1}{\lambda_L^2} B \quad (3-21)$$

إذا كانت (ثابت $B = B_0$) من هذه المعادلة فإن $\nabla^2 B$ دائماً يساوي صفر ولكن B لا يساوي الصفر وهذه النتيجة توضح أن كثافة الفيصل المغناطيسي ثابتة داخل الموصل الفائق ويجب أن

يساوي الصفر في كل مكان داخل الموصل الفائق .

المجال داخل الموصل الفائق يعطى تبعاً للمعادلة (3-21) كالتالي :

$$B(X) = B(0) e^{\left(\frac{-x}{\lambda_l}\right)} \quad (3-22)$$

حيث B_a إذا تمثل المجال المغناطيسي خارج الموصل

ومن ثم نعرض في المعادلة (3-22) تصبح :

$$B(x) = B_a e^{\left(\frac{-x}{\lambda_l}\right)} \quad (3-23)$$

حيث λ_l هو عمق اختراق لندن

$$\lambda_L = \left(\frac{m}{\mu_0 n_s e^2} \right)^{1/2} \quad (3-24)$$

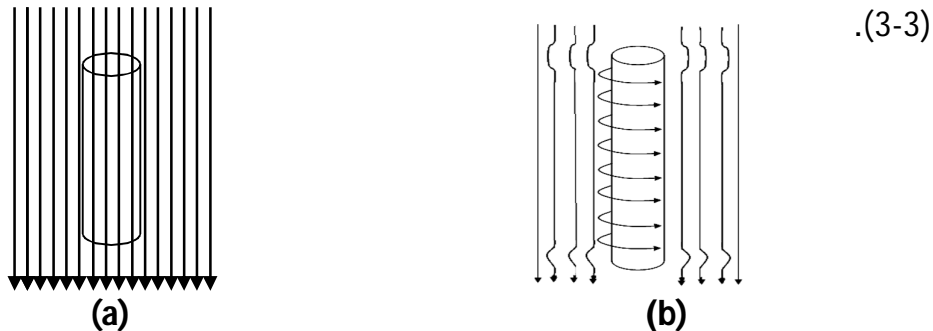
$$\lambda_L = \left(\frac{\epsilon_0 c^2 m}{n_s e^2} \right)^{1/2} \quad (3-25)$$

حيث μ_0 نفاذية الفراغ ، ϵ_0 سماحية التوصيل في الفراغ .

توضح المعادلات أعلاه أن طبيعة الأضمحلال تعتمد على كثافة الإلكترونات n_s داخل الموصل الفائق . [10]

Meissner effect: (3-5) أثر ميوزنر

عند وضع اسطوانة من موصل فائق في مجال مغناطيسي ينعدم بداخلها المجال الكهربائي نتيجة لمقاومة الصفرية ، وهذا يعني أن معدل تغير المجال المغناطيسي يتلاشى داخل الموصل الفائق ، أي أن خطوط القوى المغناطيسية تطرد خارج الاسطوانة ولا تستطيع اختراقها كما مبين في الشكل



$$T > T_c$$

$$T < T_c$$

شكل (3-3) موصل فائق على شكل أسطوانة في مجال مغناطيسي.

(a) درجة حرارة الاسطوانة أكبر من الدرجة الحرجة.

(b) درجة حرارة الاسطوانة أقل من الدرجة الحرجة.

وتشمى ظاهرة انحراف خطوط المجال المغناطيسي بعيداً عن المعدن عند التوصيل الفائق باسم تأثير ميوزنر . وحيث أن الموصل الفائق مادة دايماغناطيسية فإذا وضع فوقه مغناطيس دائم فإنه يقذف إلى أعلى .

ولعل السبب في انحراف خطوط المجال المغناطيسي بعيداً عن سطح المادة فائقة التوصيل هو حدوث تيار كهربائي تأثيري على سطح المعدن وهذا التيار يحدث مجالاً كهربياً مساوياً للمجال الساقط على سطحه فيلاشيه ومن ثم تصبح محصلة المجال الكهرومغناطيسي داخل المعدن تساوى صفر.[9]

الباب الرابع

تكميم الطاقة بالنسبة للمواد الخزفية فائقة التوصيل

(4-1) المقدمة :

إن الموصلية الفائقة عند درجات الحرارة العالية لاتزال قيد الدراسات البحثية ، والكثير من النظريات تصف جزئياً الظواهر التجريبية ، ولا يمكن أن تقسر مخطط الحالة (الطور) كاملاً، والفرق الرئيسي بين النظريات الحالية هو آلية تشكيل اقتران الزوج الإلكتروني، وفي دراسة سابقة أستخدم التباين في المغنة التقائية لوصف تأثير التقوب -الإلكترونات ، وأيضاً استخدمت علاقات الطاقة لاستكشاف قواعد الموصلية الفائقة التي تقوم على أساس نظرية تمثل في تركيب حالة الإلكترون الذي له تأثير على تشكيل الخلية الفيرومغناطيسية المضاد ، وكذلك التفاعل بين الفجوات والخلفية الفيرومغناطيسية المضادة مسؤولة عن حالة التوصيل الفائق ولكن عند زيادة تركيز الفجوات يحدث تلف للمغناطيسية المضادة وهي خاصية مزدوجة للالفجوات ، وكذلك تعتبر ان طاقة التذبذب المغناطيسي هي المسبب الأساسي لأزواج كوبر .

(4-2) الوصف الرياضي لطاقة التذبذب المغناطيسي :

ان طاقة التذبذب المغناطيسي هي المصدر الرئيسي لطاقة الإقتران الإلكتروني. في البداية نستخدم الإختلاف في المغنة التقائية على المركب الأصل لسطح CuO_2 غير المشوب ، ونفترض أن المغناطيسية التقائية M مقاسة بالنسبة للشبكة الفرعية بواسطة الحقل الجني X و المغناطيسية المقابلة لتبادل الطاقة E_0 :

$$E_0 = \frac{1}{2} \lambda M^2 \quad (4-a)$$

ومن زيادة تركيز التقوب الإلكترونية X للمدار P فإن المغنة التقائية ستضعف ويعتقد ان يرجع ذلك إلى تحويل $M(X-1)$ خطياً فإن الاختلاف المقابلة للطاقة المغناطيسية :

$$E = \frac{1}{2} \lambda (1-X)^2 M^2 \quad (4-b)$$

الاختلاف تبادل الطاقة المغناطيسية $E_0 - E$ هو كما يلي :

$$\Delta E = \frac{1}{2} [1 - (1-X)^2] \lambda M^2 \quad (4-c)$$

يسمى معدل الاختلاف في طاقة التبادل المغناطيسي بطاقة التذبذب المغناطيسي وأن هذه الطاقة لديها امكانية جذب الالكترونات المحيطة بها ، مع توجيه المغناطيس الى الخافية الفيرومغناطيسية المضادة والالكترونات المبحرة المجاورة يمكن ان تتحول الى ازواج كوبر بسهولة واذا تم زيادة منح تقويب من $O2P$ قد يسبب تلفا لخلفية الفيرو مغناطيسية المضادة وهذا هو الطابع المزدوج لتبادل طاقة الفيصل المغناطيسي

(4-3) علاقات الطاقة في حالة التوصيل الفائق (حذف تفاعل الالكترون-فونون) :

عندما يتم حذف طاقة تفاعل الالكترون-فونون يمكننا اعتبار ان طاقة التذبذب المغناطيسي هي المصدر الوحيد لطاقة الزوج الالكتروني بين وسط التقويب وزوج الكتروني واحد وان الاهتزاز في الطاقة الحرارية $k_B T$ يضعف تبادل الطاقة المغناطيسية $\frac{1}{2} \lambda (1 - X)^2 M^2$ والعلاقة موضحة كالتالي :

$$\Delta E \geq V + k_B T \quad (4-1)$$

$$\Delta E + V + K_B T \leq \frac{1}{2} \lambda (1 - X)^2 M^2 \quad (4-2)$$

عدم المساواة المذكور في المعادلة (4-1) يصف سمة جذب الطاقة المغناطيسية في حالة التوصيل الفائق وطاقة الجذب يمكن ان تقاوم تأثير الجهد الناتج عن تناقض كولوم والاهتزاز الحراري .

وعدم المساواة في المعادلة (4-2) يصف حال جذب طاقة التذبذب المغناطيسي بانها تضعف طاقة التبادل المغناطيسي وذلك بسبب الجهد والتذبذب الحراري ولكن في حالة التوصيل الفائق ان جهد كولوم والاهتزاز الحراري لايمان ان تهدم او تضعف طاقة الجذب المغناطيسي ويرجع ذلك الى الخافية الفيرومغناطيسية المضادة ، وعدم المساواة في العلاقات (4-1, 4-2) يمكن ان يبسط في صيغة X, T كالتالي :

$$T \leq -\frac{1}{2K_B} \lambda M^2 (1 - X)^2 + \frac{1}{K_B} \left(\frac{1}{2} \lambda M^2 - V \right) \quad (4-3)$$

$$T \leq \frac{1}{K_B} \lambda M^2 (1 - X)^2 - \frac{1}{K_B} \left(\frac{1}{2} \lambda M^2 + V \right) \quad (4-4)$$

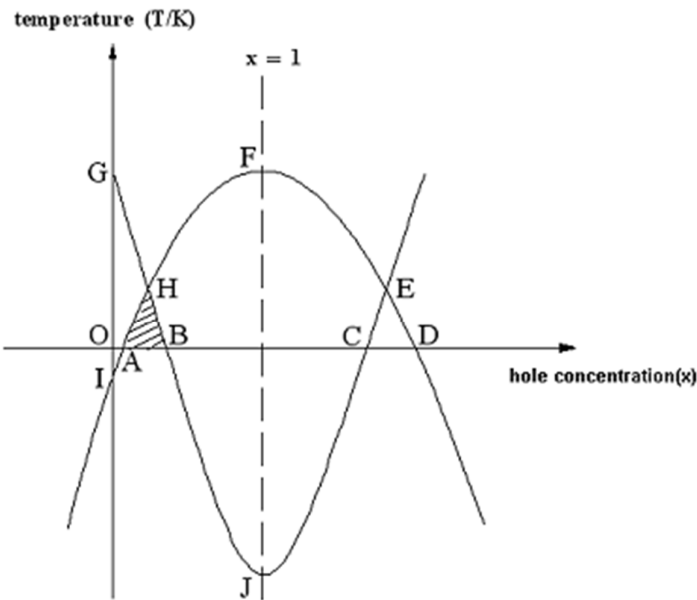
$$(0 \leq X \leq 1, T \geq 0)$$

والآن لرسم العلاقة بين "T-X" في نظام الإحداثيات تحت الشرط $(0 \leq X \leq 1, T \geq 0)$

$$T \leq T_c$$

$$T_c = \frac{1}{K_B} \lambda M^2 (1 - X)^2 - \frac{1}{K_B} \left(\frac{1}{2} \lambda M^2 + V \right)$$

وذلك الشرطين في علاقة عدم التساوي (4-3, 4-4) ومنطقة الظل (AHB) أدناه هي منطقة الموصلية الفائقة :



الرسم يوضح العلاقة بين ($T-X$) في الموصل الفائق

ومع ذلك عندما نحذف الجذر $\sqrt{(X-1)}$ من علاقة عدم التساوي (4-3, 4-4) نحصل على العلاقة التالية :

$$\frac{1}{2} \lambda M^2 \geq 3V + 3K_B T \quad (4-5)$$

وهو شرط مسبق للطاقة في التوصيل الفائق ، التي لا علاقة لها مع تركيز التقوب الالكترونية .

(4-4) تأثير طاقة تفاعل الالكترون على الموصلية الفائقة :

نحن نعتقد ان طاقة تفاعل الالكترون بين التقوب والزوج الالكتروني لديها خاصية مزدوجة مثل

طاقة التذبذب المغناطيسي ΔE فهي علاقة موازية ولذلك نستخدم $(\Delta E + W)$ ليحل محل

في المعادلة (4-2, 4-1) كالتالي :

$$\Delta E + W \geq V + K_B T \quad (4-5)$$

$$\Delta E + W + V + K_B T \leq \frac{1}{2} \lambda (1 - X)^2 M^2 \quad (4-6)$$

: $T \sim X$ بعد اعادة كتابة عدم المساواة اعلاه على شكل

$$T \leq -\frac{1}{2K_B} \lambda M^2 (1 - X)^2 + \frac{1}{K_B} \left(\frac{1}{2} \lambda M^2 - V \right) + \frac{1}{K_B} W \quad (4-7)$$

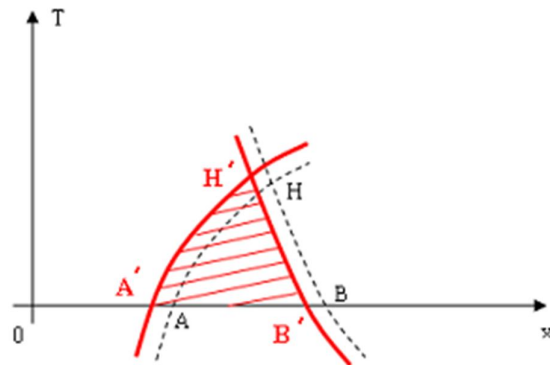
$$T \leq \frac{1}{2K_B} \lambda M^2 (1 - X)^2 - \frac{1}{K_B} \left(\frac{1}{2} \lambda M^2 + V \right) - \frac{1}{K_B} W \quad (4-8)$$

$$(0 \leq X \leq 1, T \geq 0)$$

$$T \leq T_c$$

$$T_c = \frac{1}{2K_B} \lambda M^2 (1 - X)^2 - \frac{1}{K_B} \left(\frac{1}{2} \lambda M^2 + V \right) - \frac{1}{K_B} W$$

سوف نرسم منطقة التوصيل الفائق من المعادلات (4-7,4-8) بواسطة الخطوط AHB ومنطقة التوصيل الفائق من المعادلات (4-4,4-3) بواسطة الخطوط AHB كما في الرسم (1) ويتم مقارنتها مع الرسم ادناه :



الرسم (2) يوضح تأثير تفاعل طاقة الالكترون على درجة الحرارة الحرجة لموصل فائق

وإذا قمنا بادالة الجزء $(X - 1)$ في وقت واحد من العلاقات (4-7,4-8) نحصل على :

$$\frac{1}{2} \lambda M^2 + W \geq 3V + 3K_B T \quad (4-9)$$

وتبيّن ان طاقة تفاعل الالكترون W تقلّ من الموصلية الفائقة من خلال المغناطيسية التلقائية [11].

(4-5) حساب طاقة التذبذب المغناطيسي بواسطة معادلة شرودينجر :

تسمى الطاقة الكلية في الفيزياء التقليدية بتابع هاملتون ويعبر عن هذا التابع باندفاعات الجسيم وإحداثياته وطاقة الكلية للجسيم وحيدة تؤول إلى طاقة الوضع والطاقة الحركية :

$$H(\vec{r}, \vec{p}) = T + V(\vec{r})$$

$$H = \frac{1}{2}mv^2 + V(\vec{r}) = \frac{\vec{p}^2}{2m} + V(\vec{r}) \quad (4-10)$$

وفي ميكانيكا الكم يوافق تابع هاملتون مؤثر ينبع من تعويض مؤثر الموضع ومؤثر كمية الحركة في العلاقة أعلاه كما يلي :

$$\hat{H} = \frac{\hat{p}^2}{2m} + V(\hat{r})$$

$$\hat{H} = \frac{-\hbar^2}{2m} \nabla^2 + V(\hat{r}) \quad (4-11)$$

وكما وجد أن في استنتاج معادلة شرودينجر المستقلة عن الزمن فإن التابع Ψ الذي يصف حركة زوج كوبير هو حل لتلك المعادلة ويمكن كتابة معادلة شرودينجر التي تصف هذا النوع من الحركة في بعد واحد على الصورة التالية :

$$\left[-\frac{\hbar^2}{2m} \nabla_{1x}^2 - \frac{\hbar^2}{2m} \nabla_{2x}^2 + V(\vec{x}_1 - \vec{x}_2) \right] \Psi(\vec{x}_1, \vec{x}_2) = E\Psi(\vec{x}_1, \vec{x}_2) \quad (4-12)$$

حيث أن (\vec{x}_1, \vec{x}_2) يمثلان متوجه الموضع و V تمثل الجهد.

ان الحدين الاول والثاني من هذه المعادلة يمثلان الاندفاع وقد وجد ان قيمة هذا الاندفاع في الموصلات الفائقة تؤول إلى الصفر ولا تساويه في شكل دالة أسيّة ويمكن كتابة معادلة بسيطة تصف التناقص في الاندفاع مع الزمن كالتالي :

$$\frac{dp}{dt} = -\frac{p}{\tau} \quad (4-13)$$

حيث τ كمية زمن يمكن ان تحدد في شكل دالة أسيّة وحل المعادلة (4-13) يكون في الصورة التالية :

$$p(t) = p(0)e^{-\frac{t}{\tau}} \quad (4-14)$$

وهذا يوضح أن الاندفاع الكلي للزوج الإلكتروني لا يساوي الصفر وإن الاندفاع الكلي يساوي :

$$p = p_1 + p_2$$

حيث p_1 و p_2 يمثلان اندفاع الإلكترون الأول والثاني على التوالي . [12]

نحن نفترض ان الطاقة المسؤول عن ربط الزوج الإلكتروني هي طاقة التذبذب المغناطيسي ΔE وان الطاقات التي تؤثر عليها هي طاقة تفاعل الإلكترون_فونون W وطاقة جهد كولوم V

وبالتعويض عن هذه الطاقات في معادلة شرودنجر لإيجاد الطاقة الكلية مع اعتبار ان الحد الأول في المعادلة التالية يمثل الإنداخ الكلي :

$$\left[-\frac{\hbar^2}{2m} \nabla_x^2 + \Delta E + W(x) \right] \Psi(x) = E\Psi \quad (4-15)$$

بالنسبة للموصلات الفاائق وجد ان جهد كولوم بين الزوج الإلكتروني معدوم ومساويا للصفر وعليه يمكن اعادة صياغة معادلة شرودنجر كالتالي :

$$\left[-\frac{\hbar^2}{2m} \nabla_x^2 + \Delta E + W \right] \Psi(x) = E\Psi \quad (4-16)$$

ان طاقة تفاعل الإلكترون_فونون صغيرة جدا مقارنة مع طاقة التذبذب المغناطيسي $W \gg \Delta E$ وعليه فإن :

$$\Delta E + W \approx \Delta E$$

وبالتعويض في معادلة شرودنجر (4-16) ينتج :

$$\left[-\frac{\hbar^2}{2m} \nabla_x^2 + \Delta E \right] \Psi(x) = E\Psi \quad (4-17)$$

$$\left[-\frac{\hbar^2}{2m} \nabla_x^2 + (\Delta E - E) \right] \Psi(x) = 0$$

$$\left[\nabla_x^2 + \frac{-2m}{\hbar^2} (E - \Delta E) \right] \Psi(x) = 0 \quad (4-18)$$

نفرض أن :

$$\alpha^2 = \frac{-2m}{\hbar^2} (E - \Delta E) \quad (4-19)$$

نجد أن :

$$\nabla_x^2 \Psi(x) + \alpha^2 \Psi(x) = 0 \quad (4-20)$$

وهذه العلاقة تمثل معادلية تقاضلية من الرتبة الثانية وتقبل حال جبريا عاما من الشكل :

$$\Psi(x) = A \sin \alpha x + B \cos \alpha x \quad (4-21)$$

وهذه العلاقة يجب ان تحقق الشروط الحدية

$$\Psi(0) = \Psi(a) = 0$$

او لا نعالج العلاقة عندما :

$$\Psi(0) = 0$$

نعرض في العلاقة (4-21) ينتج :

$$\Psi(0) = A \sin \alpha 0 + B \cos \alpha 0 \quad (4-22)$$

الحد الأول من العلاقة (4-22) يتحقق الشرط ولكن الحد الثاني لا يتحقق الشرط إلا اذا كان $B=0$
ومنه يحذف الحد الثاني وتصبح العلاقة المحققة للشرط الحدي الاول كما يلي:

$$\Psi(x) = A \sin \alpha x \quad (4-23)$$

ثانيا نعالج العلاقة عندما :

$$\Psi(a) = 0$$

$$\Psi(a) = A \sin \alpha a = 0 \quad (4-24)$$

يتحقق الشرط في العلاقة (4-24) إما عندما $A=0$ وبالتالي تصبح الدالة الموجية غير موجودة ولكن زوج كوبير موجودين وهذا يتطلب ان لا تكون $A=0$ ومنه يجب على الحد الثاني $\sin \alpha a = 0$ ان يتحقق الشرط ، وهذا يتحقق عندما :

$$\sin \alpha a = 0 \Rightarrow$$

$$\alpha a = n\pi$$

$$n=1,2,3,\dots$$

$$\alpha = \frac{n\pi}{a} \quad (4-25)$$

وبتعويض العلاقة (4-25) في العلاقة (4-24) نحصل على الدالة الدالة الموجية التي تحقق الشروط الحدية كما يلي :

$$\Psi_n(x) = A \sin \frac{n\pi}{a} x \quad (4-26)$$

العلاقة (4-26) تحقق الشروط الحدية وهي الدالة الموجية المرافق لزوج كوبر داخل الموصل الفائق .

ولحساب الطاقة من العلاقات (19-4) و (4-24) نستطيع إيجاد علاقة الطاقة كما يلي :

$$\alpha^2 = \frac{2m}{\hbar^2} (\Delta E - E) \quad (4-27)$$

نفترض ان $U = \Delta E - E$ و عليه تصبح العلاقة (4-27) كالتالي :

$$\alpha^2 = \frac{2m}{\hbar^2} (U)$$

$$\alpha = \frac{n\pi}{a} \Rightarrow \alpha^2 = \frac{n^2\pi^2}{a^2}$$

$$\alpha^2 = \frac{2m}{\hbar^2} (U) = \frac{n^2\pi^2}{a^2} \Rightarrow$$

$$U_n = \frac{\pi^2\hbar^2}{2ma^2} n^2 = c^2 n^2 \quad (4-28)$$

حيث :

$n=1,2,3,\dots$

$$c^2 = \frac{\pi^2\hbar^2}{2ma^2}$$

من الفرضية :

$$\Delta E - E = U$$

ينتج لنا :

$$E = \Delta E - U$$

وبال subsitute عن قيمة ΔE من المعادلة (4-C) وعن قيمة U من المعادلة (2-28) تنتج لنا المعادلة التالية :

$$E = \frac{1}{2} [1 - (1 - X)^2] \lambda M^2 - c^2 n^2 \quad (4-29)$$

تمثل العلاقة (4-29) الطاقة الكلية أما العلاقة (4-28) تعطي قيم مكممة للطاقة واعتبرنا أن n تبدأ من الواحد لكي لاتصبح الطاقة تساوي صفر أي ان ازواج كوبر لاستطيع ان تأخذ أي مكان داخل الموصل الفائق إلا الأمكنة المتواقة مع العلاقة (4-28) وبقي الأمكنة محظورة بالنسبة لازواج كوبر.

و عند تطبيق شرط المعايرة على الدالة الموجية في العلاقة (4-26) وهي :

$$\Psi_n(x) = A \sin \frac{n\pi}{a} x$$

تطبيق شرط المعايرة

$$A^2 \int_0^a |\Psi_n(x)|^2 dx = A^2 \int_0^a \left| \sin \frac{n\pi}{a} x \right|^2 dx = 1 \quad (4-30)$$

$$A^2 \int_0^a \left(\frac{1 - \cos \alpha x}{2} \right) dx = 1$$

$$A^2 \left[\int_0^a \frac{dx}{2} - \int_0^a \frac{\cos \alpha x}{2} dx \right] = 1$$

$$A^2 \frac{a}{2} = 1 \Rightarrow A^2 = \frac{2}{a}$$

$$A = \sqrt{\frac{2}{a}} \quad (4-31)$$

نعرض العلاقة (4-31) ثابت المعايرة في العلاقة (4-26) نحصل على الدالة الموجية المعايرة والتي تدل فيزيائيا على ان زوج كوبر موجود بلا ريب في احدى القيم الخاصة . ومنه الدالة الموجية :

$$\Psi_n(x) = \sqrt{\frac{2}{a}} \sin \frac{n\pi}{a} x \quad (4-32)$$

(4-6) طاقة التذبذب المغناطيسي في حالة الاندفاع يؤول الى الصفر او يساويه:

من معادلة شروdonجر (4-17) وهي :

$$\left[-\frac{\hbar^2}{2m} \nabla_x^2 + \Delta E \right] \Psi(x) = E \Psi$$

و اذا كان الاندفاع يساوي الصفر فان :

$$-\frac{\hbar^2}{2m} \nabla_x^2 = 0 \quad (4-33)$$

وبتعويض قيمة الإنداخ فان معادلة شروdonجر تكتب في الصورة التالية :

$$\Delta E \Psi(x) = E \Psi \quad (4-34)$$

وهذا يعني ان:

$$\Delta E = E \quad (4-35)$$

والعلاقة (4-35) تدل فيزيائيا على ان طاقة التذبذب المغناطيسي في هذه الحالة تساوي الطاقة الكلية

بين ازواج كوير في حالة التوصيل الفائق

مناقشة النتائج

تم إيجاد طاقة التذبذب المغناطيسي في العلاقة (4-2) من علاقات الاختلاف في تبادل الطاقة المغناطيسية وفي المعادلة (4-9) تم توضيح ان طاقة تفاعل الالكترون-فونون تؤثر على طاقة التذبذب المغناطيسي وفي المعادلة (4-14) تم توضيح ان الاندفاع الكلي بالنسبة لزوج كوبر لا يساوي الصفر وإنما يؤول بصورة أسيّة الى الصفر وعليه تم استخدام قوانين ميكانيكا الكم لتكميم طاقة التذبذب المغناطيسي والتي تحصلنا عليها في المعادلة (4-28) وفي العلاقة (4-35) تم افتراض ان الاندفاع يساوي الصفر ووجد في هذه الحالة ان طاقة التذبذب المغناطيسي تساوي الطاقة الكلية .

الاستنتاج

يوضح هذا النموذج ان الطاقة المسؤولة عن تكوين الزوج الإلكتروني هي طاقة التذبذب المغناطيسي والتي تعتمد على تركيز الالكترونات والثقوب ، كما يوضح هذا النموذج ان طاقة التذبذب المغناطيسي مكماه وتأخذ قيم صحيحة توكل احتمال وجود الزوج الإلكتروني مع وصف الدالة الموجية لحركة الزوج، كما يوضح هذا النموذج ان طاقة التذبذب المغناطيسي تساوي الطاقة الكلية في حالة تلاشي الإنفاس.

المراجع

- [1] احمد خوجلي محمد خير،2002، مبادي فيزياء الجوامد ،السودان ،الخرطوم ،دار عزة للنشر ،طبعة الثانية.
- [2] رأفت كامل واصف،1995، أساسيات فيزياء الجوامد دار النشر للجامعات المصرية ،مكتبة الوفاء ،طبعة الأولى.
- [3] رأفت كامل واصف،2005، أساسيات الفيزياء الكلاسيكية والمعاصرة ،دار النشر للجامعات المصرية ،طبعة الثالثة.
- [4] عبد الفتاح الشاذلي،2003، فيزياء الجوامد ، مصر ، الدار العربية للنشر والتوزيع ،الجزء الأول ،طبعة الأولى.
- [5] مبارك درار عبد الله،2009 ،محاضرات في فيزياء الجوامد ، جامعة السودان للعلوم والتكنولوجيا ، كلية العلوم.
- [6] محمد أمين سليمان و(آخرون)، 2000، فيزياء الجوامد ، دار النشر مدينة نصر ، الطبعة الأولى.
- [7] محمد بن علي احمد عيسى،1990 ،الكهربائية والمغناطيسية ،المملكة العربية السعودية ،الملك سعود ،طبعة الأولى.
- [8] محمد محمود عمار،1999 ،الفيزياء الحديثة ، مصر ، الطبعة الأولى.
- [9] حسب الرسول قسم الله اسماعيل،1999 ، التوصيل الفائق و المقاومة المعتمد على القابلية الكهربائي والمغناطيسية ، جامعة الجزيرة كلية التربية الحصاحيصا .
- [10] رشا عبدالحي محمد طه، 2010، تصميم إنمزوج نظري للمواد فائقة التوصيل عند درجة الحرارة المرتفعة، جامعة السودان للعلوم والتكنولوجيا ، كلية العلوم .
- [11] GIRE Technology Co.Ltd., Chongqing, China, 400039
- [12] A. W. B. taylor,1970, Superconductivity,francis Ltd.10-14 macklin street.